

**КВАНТОВО-РАЗМЕРНЫЕ ЭФФЕКТЫ  
В ФОТОЛЮМИНЕСЦЕНЦИИ СВЕРХРЕШЕТОК  
НА ОСНОВЕ ХАЛЬКОГЕНИДОВ СВИНЦА**

Колесников И. В., Ковалев А. Н., Сипатов А. Ю.,  
Парамонов В. И., Федоренко А. И., Юнович А. Э.

Сообщается о наблюдении структуры и сдвигов в спектрах фотолюминесценции сверхрешеток (СР) PbSe—PbS, PbTe—PbS, PbSe—PbTe, которые объясняются квантово-размерными эффектами. Показано, что в случае СР типа PbSe—PbS с толщинами слоев 50÷200 Å экспериментальные данные согласуются с расчетами для модельного потенциала Кронига—Пенни с разрывами зон  $\Delta E_c=48$  и  $\Delta E_v=90$  мэВ с учетом антизотропии и непарabolicности. Наибольшим квантовым выходом обладают СР типа PbSe—PbS на подложках из BaF<sub>2</sub>.

В работах [1, 2] были исследованы спектры фотолюминесценции (ФЛ) сверхрешеток (СР) PbS—EuS, выращенных на подложках KCl и BaF<sub>2</sub> методом молекулярной эпитаксии; при уменьшении толщины узкозонного слоя в пределах 200÷30 Å наблюдались сдвиги полос ФЛ на величину порядка ширины запрещенной зоны, которые объяснялись квантово-размерными эффектами. В настоящей работе впервые сообщается о наблюдении структуры и сдвигов в спектрах ФЛ СР PbSe—PbS, PbTe—PbS, PbSe—PbTe, которые объясняются квантово-размерными эффектами. Наибольшим квантовым выходом излучения обладают СР PbSe—PbS на подложке BaF<sub>2</sub>.

Толщина слоев менялась в пределах 50÷200 Å, число периодов 30÷10. Они изготавливались в установке с безмасляной системой откачки ( $P_{\text{окт}}=10^{-4} \div 10^{-5}$  Па) термическим испарением шихты из источников с последующим поочередным осаждением слоев на подложки (100) KCl и (111) BaF<sub>2</sub>. Условия роста приближались к условиям конгруэнтной сублимации, которые позволяют воспроизводимо получать структурно совершенные слои с контролируемым количеством и однородным распределением собственных точечных дефектов по толщине и площасти слоя без последующих отжигов [3, 4].

Структурные исследования проводились по методике, описанной в [1]. Эти исследования показали, что в ориентации (100) халькогениды свинца растут друг на друге послойно (по механизму Франка—Ван-дер-Мерве) и на межфазных поверхностях образуется квадратная сетка дислокаций несоответствия с периодами 130 (PbSe—PbS), 86 (PbSe—PbTe) и 52 Å (PbTe—PbS) (см. также [5]). В таких системах можно было ожидать эффекты размерного квантования за счет образования сверхрешеток по трем координатам. Однако образование дислокаций настолько уменьшало квантовый выход ФЛ, что делало исследования спектров практически невозможными.

В ориентации (111) плоскости халькогенидов свинца заряжены и активно адсорбируют остаточные газы в камере роста; задержка около 10 с в вакууме  $10^{-4}$  Па (остаточный газ — водород) приводит к островковому механизму роста без дислокаций несоответствия на межфазных границах СР. Периодичность и регулярность таких СР проверялись по четким рефлексам — сателлитам на рентгеновских дифрактограммах; она была наилучшей для СР PbSe—PbS.

Энергетическая диаграмма на гетерограницах бинарных халькогенидов свинца известна лишь для пары PbSe—PbS из спектральной зависимости фотоэффекта [6]. На рис. 1, а приведена энергетическая диаграмма СР с параметрами

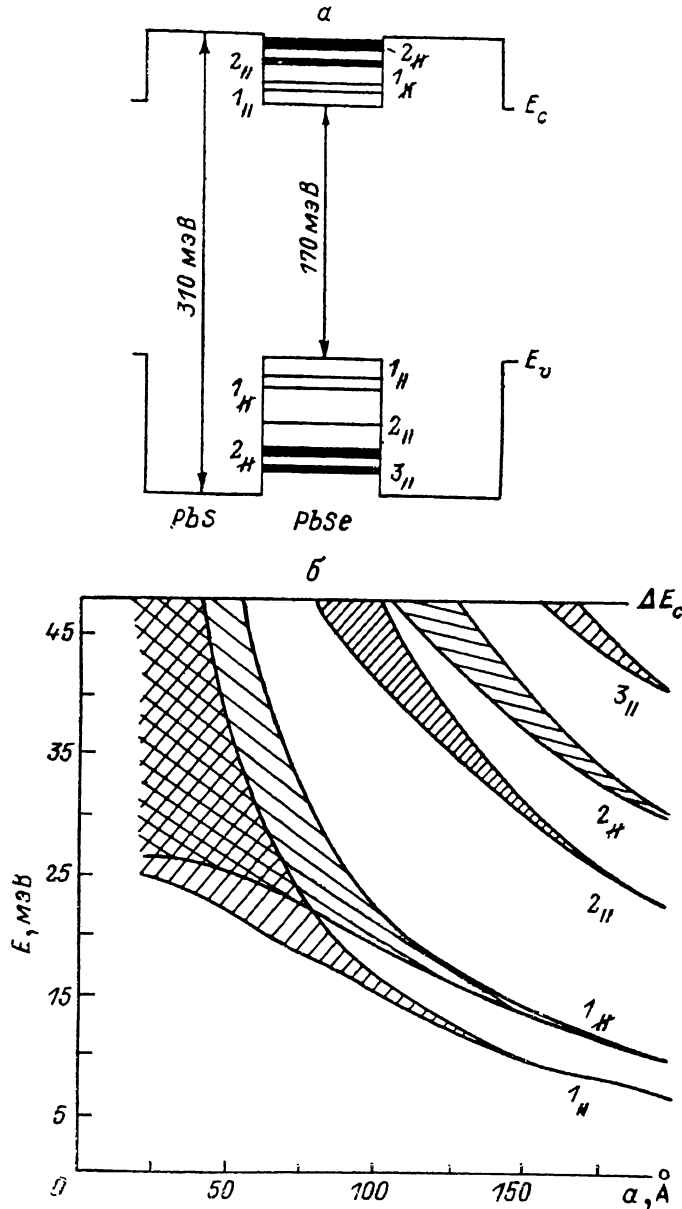


Рис. 1. Энергетическая диаграмма СР PbSe—PbS при 80 К.

*a* — результаты расчета подзон размерного квантования при толщинах слоев *a* (PbSe) и *b* (PbS) по 130 Å;  
*b* — структура подзон размерного квантования в зоне проводимости PbSe в СР в зависимости от толщины слоя PbSe при  $a=b$ .

из [6]:  $\Delta E_c = 48$ ,  $\Delta E_v = 90$  мэВ ( $T = 78$  К). На диаграмме приведены уровни мини-зона размерного квантования для случая толщин слоев *a* (PbSe) = *b* (PbS) = 130 Å. На рис. 1, *b* показана эволюция мини-зон проводимости PbSe в зависимости от толщины слоя PbSe в СР при условии  $a=b$ . Расчеты проводили по модели Кронига—Пенни с условиями непрерывности волновых функций и их производных на гетерограницах, предполагая зависимость эффективных масс

от энергии по двухзонной модели Кейна  $m_{c,\nu}^* = m_{c,\nu\parallel}^* (1 + 2E/E_0)$ . Значения ширин запрещенных зон PbSe, PbS и эффективных масс брались из [7].

Так как в PbS и PbSe экстремумы зон расположены в  $L$ -точке, при квантовании в направлении  $\langle 111 \rangle$  образуются две группы носителей; в одной долине с эффективной массой  $m_{c,\nu\parallel}^* = m_{c,\nu\perp}^*$  и в трех долинах  $m_{c,\nu}^* = (1/9 m_{c,\nu\parallel}^* + 8/9 m_{c,\nu\perp}^*)^{-1}$  (в направлении квантования). Так как  $m_{c,\nu}^*/m_{\tau}^* \approx m_{c,\perp}^*/m_{\tau\perp}^* \approx 1$  и  $\Delta E_c/\Delta E_{\tau} \approx 2$ , согласно критерию работы Шика [8], можно ожидать слабого нарушения правил отбора  $n=n'$  при излучательной рекомбинации.

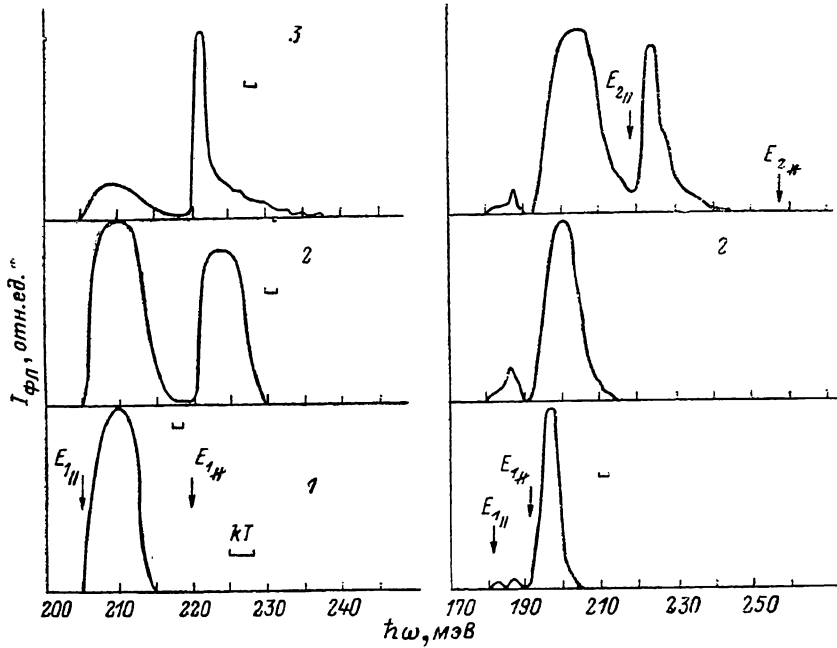


Рис. 2. Спектры ФЛ СР PbSe—PbS.

Слева —  $a=100$ ,  $b=100$  Å, 21 период; справа —  $a=200$ ,  $b=180$  Å, 20 периодов.  $W \cdot 10^{-4}$ , Вт/см<sup>2</sup>: 1 — 2, 2 — 7, 3 — 20.

Типичные спектры ФЛ СР PbSe—PbS при возбуждении импульсным YAG : Nd-лазером ( $\hbar\omega=1.17$  эВ) при 80 К изображены на рис. 2. В спектрах можно наблюдать одну, две или три полосы; с увеличением уровня возбуждения от  $2 \cdot 10^4$  до  $2 \cdot 10^5$  Вт/см<sup>2</sup> интенсивность излучения перераспределяется в пользу более высокоэнергичных полос. Стрелками отмечены результаты расчета для разрешенных переходов между подзонами размерного квантования (при сохранении номера подзоны при рекомбинации), т. е. значения энергии, начиная с которых должна простираться в высокоэнергичную область полоса спектра ФЛ, обусловленная рекомбинацией носителей из данной пары подзон. Видно, что низкоэнергичные края полос спектра ФЛ удовлетворительно согласуются с рассчитанными значениями. С увеличением уровня накачки в спектрах появляются полосы излучения, соответствующие заполнению более высоко лежащих подзон.

Интенсивность ФЛ исследованных СР PbSe—PbS была в 30–50 раз выше (при одинаковой мощности накачки), чем у пленок PbSe, выращенных в тех же условиях (толщина пленки PbSe была равна суммарной толщине слоев PbSe в СР). Это может быть связано с тем, что возбуждающее ФЛ излучение лазера (частично пропускаемое пленкой) с  $\hbar\omega=1.17$  эВ должно поглощаться не только в Pb—Se, но и в барьерных слоях PbS, так как  $E_g(\text{PbS}) < 1.17$  эВ (рис. 1, а). Поскольку в спектрах СР отсутствует излучение, соответствующее рекомбинации в PbS, можно предположить, что неравновесные носители переходят в узковолновые слои PbSe, где и рекомбинируют. В силу суперлинейной зависимости

интенсивности ФЛ PbSe от мощности накачки при  $W_0 \geq 10^4$  Вт/см<sup>2</sup> [9] такая «дополнительная накачка» слоев PbSe может привести к наблюдаемому в экспериментах росту интенсивности ФЛ.

СР PbSe—PbS, так же как PbSe—PbTe и PbTe—PbS, давали на рентгеновских дифрактограммах рефлексы-сателлиты, обусловленные тем, что образцы представляли собой СР, а не твердые растворы. Островковый механизм роста исключал возможность образования упруго-деформированных слоев СР. Отсутствие дислокаций несоответствия и наличие «муаровых полос» на электронно-микроскопических изображениях образцов свидетельствовали об отсутствии напряжений [10].

На рис. 3 приведены спектры ФЛ СР PbSe—PbTe и PbTe—PbS. Видно, что линии ФЛ лежат выше значений  $E_g$  узконозонного полупроводника на 15–20 мэВ; в СР PbSe—PbTe разность  $E_g(\text{PbTe}) - E_g(\text{PbSe})$  сравнительно мала, и в спектре ФЛ видна слабая линия, соответствующая излучению более широкозонного полупроводника. В этих случаях нет более определенных сведений о величине потенциальных барьеров на гетерограницах, и не проводилось сопоставления расчетов с экспериментальными данными, хотя достаточно яркая

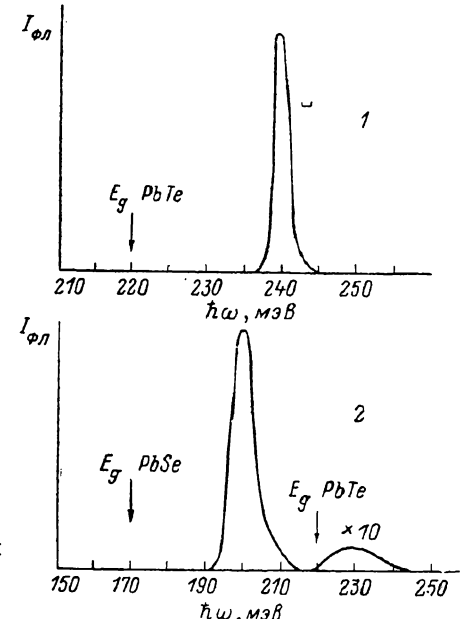


Рис. 3. Спектры ФЛ СР PbTe—PbS (вверху) и PbSe—PbTe (внизу).

Толщины всех слоев по 130 Å.  $T=80$  К;  $W_0 \cdot 10^{-4}$ , Вт/см<sup>2</sup>: 1 — 2, 2 — 7.

ФЛ свидетельствует в пользу контравариантной зонной диаграммы, и наблюдаемые сдвиги в спектрах ФЛ того же порядка, что и теоретические оценки квантово-размерных эффектов.

Таким образом, впервые наблюдались квантово-размерные эффекты в ФЛ СР типа PbSe—PbS, PbSe—PbTe, PbTe—PbS; показано, что в случае СР PbSe—PbS экспериментальные данные согласуются с расчетами для модельного потенциала Кронига—Пенни с учетом анизотропии и непарараболичности.

#### Список литературы

- [1] Колесников И. В., Сидатов А. Ю., Федоренко А. И., Юнович А. Э. // ЖЭТФ. 1988. Т. 95. В. 7. С. 239–246.
- [2] Колесников И. В., Сидатов А. Ю. // ФТП. 1989. Т. 23. В. 6. С. 954–959.
- [3] Золотов С. И., Ковалев А. Н., Парамонов В. И., Юнович А. Э. // ФТП. 1985. Т. 19. В. 4. С. 616–620.
- [4] Ковалев А. Н., Парамонов В. И. // Электрон. техн. Материалы. 1986. № 4. С. 26–34.
- [5] Михайлов И. Ф., Савицкий Б. А., Сидатов А. Ю., Федоренко А. И., Шпаковская Л. П. // ФТП. 1983. Т. 25. В. 4. С. 1166–1171.
- [6] Chu T. K., Agassi D., Martinez A. // Appl. Phys. Lett. 1987. V. 50. N 7. P. 419–421.
- [7] Preier H. // Appl. Phys. 1979. V. 20. P. 189–206.
- [8] Шик А. Я. // Письма ЖТФ. 1979. Т. 5. В. 14. С. 869–871.
- [9] Золотов С. И., Юнович А. Э. // ФТП. 1986. Т. 20. В. 2. С. 263–269.
- [10] Борисова С. С., Михайлов И. Ф., Шпаковская Л. П. // Кристаллография. 1986. Т. 31. В. 4. С. 651–655.